



УДК 536.25

© С. В. Соловьев, Л. С. Гринкруг, Р. И. Цой, 2010

МОДЕЛИРОВАНИЕ ТЕПЛООБМЕНА В ЯДРЕ С УЧЕТОМ ДЖОУЛЕВОЙ ДИССИПАЦИИ

Соловьев С. В. – д-р физ.-мат. наук, проф. кафедры «Прикладная математика», e-mail: solovjovsv@rambler.ru (ТОГУ); *Гринкруг Л. С.* – канд. техн. наук, проф. ректор, тел.: 8-426-224-0146 (ДВГСА); *Цой Р. И.* – канд. техн. наук, проф. завкафедрой «Информационные системы и прикладная информатика» (ДВГСА)

Рассмотрен конвективный теплообмен электропроводящей жидкости в сферическом слое, моделирующем жидкое ядро Земли. Сделан анализ влияния различных физических параметров на течение и теплообмен жидкости в сферической прослойке.

The convective heat transfer of electric conducting fluid in a spherical layer simulating a liquid Earth's core is considered. The influence of various physical parameters on the flow and heat transfer of a fluid in the spherical layer is analyzed.

Ключевые слова: моделирование, конвекция, магнитная гидродинамика, теплообмен, электропроводная жидкость, ядро Земли, джоулева диссипация.

Рассматриваются тепловые и магнитогидродинамические процессы в ядре Земли, вещество которого является электропроводящей жидкостью. В настоящей работе, в отличие от кинематических моделей гидромагнитного динамо (в которых задается поле скорости жидкости), рассматриваются совместно уравнения энергии – с учетом внутренних источников тепла и джоулевой диссипации, движения – с учетом магнитных, вязких и подъемных сил, индукции, неразрывности для скорости и магнитной индукции. Используется приближение Буссинеска. Ускорение свободного падения направлено к центру ядра. Математическая постановка задачи в безразмерной форме описывается системой дифференциальных уравнений:

$$\frac{1}{\text{Ho}} \frac{\partial \vartheta}{\partial \tau} + (\mathbf{v} \nabla) \vartheta = \frac{1}{\text{Pe}} (\Delta \vartheta + Q_v + J(\text{rot } \mathbf{B})^2); \quad (1)$$

$$\frac{1}{\text{Ho}} \frac{\partial \mathbf{v}}{\partial \tau} + (\mathbf{v} \nabla) \mathbf{v} = -\text{Eu} \nabla P + \frac{S}{\text{Re}_m} (\text{rot } \mathbf{B} \times \mathbf{B}) + \frac{1}{\text{Re}} \Delta \mathbf{v} + \square \frac{\text{Gr}}{\text{Re}^2} \vartheta; \quad (2)$$



$$\frac{1}{\text{Ho}} \frac{\partial \mathbf{B}}{\partial \tau} = \text{rot}(\mathbf{v} \times \mathbf{B}) + \frac{1}{\text{Re}_m} \Delta \mathbf{B}; \quad (3)$$

$$\text{div} \mathbf{v} = 0; \quad \text{div} \mathbf{B} = 0. \quad (4)$$

Постоянная величина J в уравнении энергии (1), определяющая джоулеву диссипацию, принимает различные значения в зависимости от типа граничных условий для температуры.

При записи системы уравнений (1)–(4) использованы следующие обозначения:

$\mathbf{v} = V/u_0$, $\mathbf{B} = B/B_0$, $\tau = t/t_0$ – безразмерные скорость, магнитная индукция и время; $\text{Eu} = \frac{P_0}{\rho_0 u_0^2}$, $\text{Re} = \frac{u_0 r_1}{\nu}$, $\text{Pe} = \frac{u_0 r_1}{a}$ – числа Эйлера, Рейнольдса и

Пекле; $\text{Ho} = \frac{u_0 t_0}{r_1}$ – число гомохронности; $\text{Re}_m = \frac{u_0 r_1}{D_m}$, $S = \frac{\sigma B_0^2 r_1}{\rho_0 u_0}$ – магнит-

ное число Рейнольдса и параметр магнитного взаимодействия; r' , r_1 , r_2 – размерные текущий радиус, радиус внутренней и внешней сферы ядра; $r = r'/r_2$, $R_0 = r_2/r_1$ – безразмерные текущий радиус и радиус внешней сферы ядра; θ – полярный угол; λ – коэффициент теплопроводности вещества ядра; D_m , σ – коэффициенты магнитной вязкости и электропроводности; P_0 , ρ_0 , u_0 , t_0 , B_0 – характерные масштабы давления, плотности, скорости, времени и магнитной индукции.

Задача (1)–(4) решалась в переменных температура-вихрь-функция тока (в сферических координатах с учетом симметрии по долготе φ):

$$\begin{aligned} \frac{1}{\text{Ho}} \frac{\partial \vartheta}{\partial \tau} + \frac{1}{r^2 \sin \theta} \left(\frac{\partial \psi}{\partial \theta} \frac{\partial \vartheta}{\partial r} - \frac{\partial \psi}{\partial r} \frac{\partial \vartheta}{\partial \theta} \right) - \frac{1}{\text{Pe}} \left(\frac{\partial^2 \vartheta}{\partial r^2} + \frac{2}{r} \frac{\partial \vartheta}{\partial r} + \frac{1}{r^2} \frac{\partial^2 \vartheta}{\partial \theta^2} + \right. \\ \left. + \frac{\text{ctg} \theta}{r^2} \frac{\partial \vartheta}{\partial \theta} + Q_v \right) - \frac{J}{\text{Pe}} \left(\frac{\partial B_\theta}{\partial r} + \frac{1}{r} B_\theta - \frac{1}{r} \frac{\partial B_r}{\partial \theta} \right)^2 = 0; \end{aligned}$$

$$\begin{aligned} \frac{1}{\text{Ho}} \frac{\partial \omega}{\partial \tau} + \frac{1}{r^2 \sin \theta} \left[\frac{\partial \psi}{\partial \theta} \frac{\partial \omega}{\partial r} - \frac{\partial \psi}{\partial r} \frac{\partial \omega}{\partial \theta} - \frac{\omega}{r} \frac{\partial \psi}{\partial \theta} + \omega \text{ctg} \theta \frac{\partial \psi}{\partial r} \right] = \\ = \frac{1}{\text{Re}} \left[\frac{\partial^2 \omega}{\partial r^2} + \frac{2}{r} \frac{\partial \omega}{\partial r} + \frac{1}{r^2} \frac{\partial^2 \omega}{\partial \theta^2} + \frac{\text{ctg} \theta}{r^2} \frac{\partial \omega}{\partial \theta} - \frac{\omega}{r^2 \sin^2 \theta} \right] - \end{aligned}$$

$$- \frac{\text{Gr}}{\text{Re}^2} \frac{1}{r} \frac{\partial \vartheta}{\partial \theta} + \frac{S}{\text{Re}_m} \left[B_r \frac{\partial^2 B_\theta}{\partial r^2} + 2 \frac{B_r}{r} \frac{\partial B_\theta}{\partial r} + \frac{\partial B_r}{\partial r} \frac{\partial B_\theta}{\partial r} + \frac{B_\theta}{r} \frac{\partial B_r}{\partial r} - \right.$$



$$\begin{aligned}
 & -\frac{B_r}{r} \frac{\partial^2 B_r}{\partial r \partial \theta} - \frac{1}{r} \frac{\partial B_r}{\partial r} \frac{\partial B_r}{\partial \theta} + \frac{B_\theta}{r} \frac{\partial^2 B_\theta}{\partial r \partial \theta} + \frac{1}{r} \frac{\partial B_\theta}{\partial r} \frac{\partial B_\theta}{\partial \theta} + \frac{2B_\theta}{r^2} \frac{\partial B_\theta}{\partial \theta} - \\
 & \left. - \frac{B_\theta}{r^2} \frac{\partial^2 B_r}{\partial \theta^2} - \frac{1}{r^2} \frac{\partial B_r}{\partial \theta} \frac{\partial B_\theta}{\partial \theta} \right]; \\
 & \frac{\partial^2 \Psi}{\partial r^2} + \frac{1}{r^2} \frac{\partial^2 \Psi}{\partial \theta^2} - \frac{\text{ctg} \theta}{r^2} \frac{\partial \Psi}{\partial \theta} = -\omega r \sin \theta; \\
 & \frac{1}{\text{Ho}} \frac{\partial B_r}{\partial \tau} = \frac{1}{r^2 \sin \theta} \left[\frac{B_\theta}{r} \frac{\partial^2 \Psi}{\partial \theta^2} + \frac{1}{r} \frac{\partial B_\theta}{\partial \theta} \frac{\partial \Psi}{\partial \theta} + B_r \frac{\partial^2 \Psi}{\partial r \partial \theta} + \frac{\partial B_r}{\partial \theta} \frac{\partial \Psi}{\partial r} \right] + \\
 & + \frac{1}{\text{Re}_m} \left[\frac{\partial^2 B_r}{\partial r^2} + \frac{2}{r} \frac{\partial B_r}{\partial r} + \frac{1}{r^2} \frac{\partial^2 B_r}{\partial \theta^2} + \frac{\text{ctg} \theta}{r^2} \frac{\partial B_r}{\partial \theta} - \right. \\
 & \left. - \frac{2B_r}{r^2} - \frac{2B_\theta \text{ctg} \theta}{r^2} - \frac{2}{r^2} \frac{\partial B_\theta}{\partial \theta} \right]; \\
 & \frac{1}{\text{Ho}} \frac{\partial B_\theta}{\partial \tau} = \frac{1}{r \sin \theta} \left[-B_r \frac{\partial^2 \Psi}{\partial r^2} - \frac{\partial B_r}{\partial r} \frac{\partial \Psi}{\partial r} - \frac{B_\theta}{r} \frac{\partial^2 \Psi}{\partial r \partial \theta} + \frac{B_\theta}{r^2} \frac{\partial \Psi}{\partial \theta} - \right. \\
 & \left. - \frac{1}{r} \frac{\partial \Psi}{\partial \theta} \frac{\partial B_\theta}{\partial r} \right] + \frac{1}{\text{Re}_m} \left[\frac{\partial^2 B_\theta}{\partial r^2} + \frac{2}{r} \frac{\partial B_\theta}{\partial r} + \frac{1}{r^2} \frac{\partial^2 B_\theta}{\partial \theta^2} + \frac{\text{ctg} \theta}{r^2} \frac{\partial B_\theta}{\partial \theta} - \right. \\
 & \left. - \frac{B_\theta}{r^2 \sin^2 \theta} + \frac{2}{r^2} \frac{\partial^2 B_r}{\partial \theta} \right].
 \end{aligned}$$

Для температуры задавались следующие граничные условия:

1. Температуры на $\Gamma_{1,2}$: $\vartheta|_{\Gamma_1} = 1$; $\vartheta|_{\Gamma_2} = 0$;
2. Подвод тепла q_1 на Γ_1 и задание температуры T_2 на Γ_2 :
 $\partial \vartheta / \partial r|_{\Gamma_1} = -1$; $\vartheta|_{\Gamma_2} = 0$;
3. Задание температуры T_1 на Γ_1 и теплового потока q_2 на Γ_2 :
 $\partial \vartheta / \partial r|_{\Gamma_2} = \pm 1$; $\vartheta|_{\Gamma_1} = 0$ («+» – подвод тепла; «-» – отвод тепла).

$$\begin{aligned}
 & \frac{\partial \vartheta}{\partial \theta} \Big|_{\theta=0, \pi} = 0, \quad \frac{\partial B_r}{\partial \theta} \Big|_{\theta=0, \pi} = \frac{\partial B_\theta}{\partial \theta} \Big|_{\theta=0, \pi} = 0, \quad \Psi|_{\Gamma_{1,2}} = \Psi|_{\theta=0, \pi} = \omega|_{\theta=0, \pi} = 0, \\
 & B_r|_{\Gamma_1} = B_r|_{\Gamma_2} = 0; \quad B_\theta|_{\Gamma_1} = -0,01 \sin \theta; \quad B_\theta|_{\Gamma_2} = 0,01 \sin \theta.
 \end{aligned}$$

В начальный момент времени задавались нулевые значения рассчитываемых полей (для температуры могло задаваться аналитическое решение $\vartheta(r)$ одномерного стационарного уравнения теплопроводности).

Для решения задачи использовался метод конечных элементов. Для аппроксимации рассчитываемых полей применялись билинейные конечные элементы. Дискретный аналог системы дифференциальных уравнений был получен с применением метода взвешенных невязок. Полученная система алгебраических уравнений решалась методом Зейделя с применением релаксации. По времени использовалась неявная схема.

Результаты расчетов

На рис. 1 приведены результаты стационарных расчетов (для температуры использовались граничные условия 1) без учета джоулевой диссипации и внутренних источников тепла для безразмерных чисел подобия: $Gr = 10^3$; $Re = 10$ ($Gr/Re^2 = 10$); $S = 10^{-5}$; $Re_m = 1$ ($S/Re_m = 10^{-5}$); $Pe = 10$; $r_2/r_1 = 2,5$.

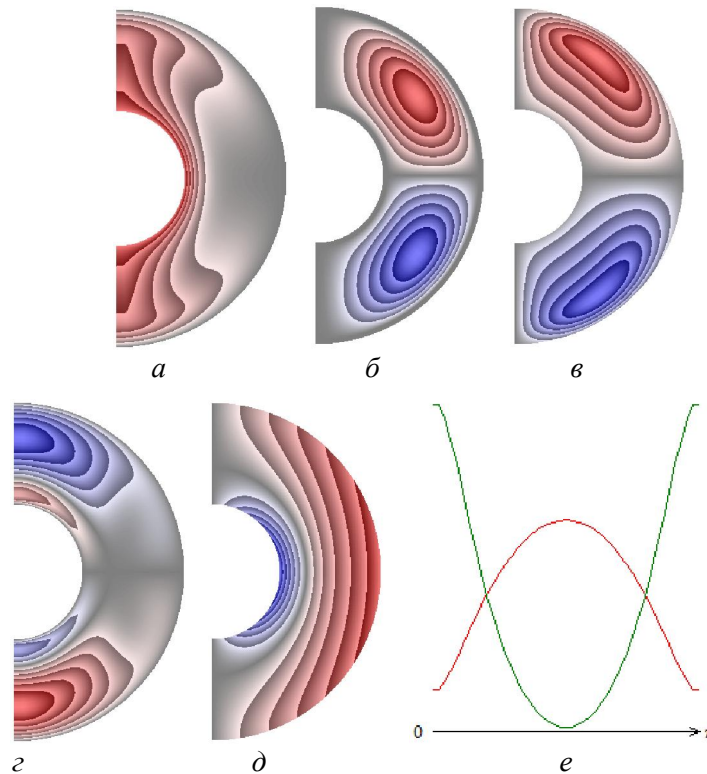


Рис. 1. Расчетные поля (джоулева диссипация и внутренние источники тепла отсутствуют): а – температура; б – функция тока; в – вихрь; г – радиальная составляющая магнитной индукции; д – меридиональная составляющая магнитной индукции; е – локальные числа Нуссельта (красный цвет – на границе Γ_1 , зеленый – на Γ_2)



Основное изменение температуры (рис. 1, *a*) происходит в области полюсов. В ядре образуются две конвективные ячейки и два вихря (рис. 1, *б, в*). В северном полушарии жидкость движется против часовой стрелки (значения функции тока и вихря положительные), а в южном – по часовой стрелке (значения функции тока и вихря отрицательные). Радиальная составляющая магнитной индукции (рис. 1, *з*) в северном полушарии принимает отрицательные значения, а в южном – положительные (за исключением небольшой области вблизи внутренней границы Γ_1). Меридиональная составляющая магнитной индукции вблизи границы Γ_1 принимает отрицательные значения, а у внешней границы Γ_2 – положительные (рис. 1, *д*). Локальные числа Нуссельта (рис. 1, *е*): $0,79 \leq Nu_{\Gamma_1} \leq 3,90$; $0,07 \leq Nu_{\Gamma_2} \leq 6,03$. Осредненные: $\overline{Nu}_{\Gamma_1} = 3,17$; $\overline{Nu}_{\Gamma_2} = 1,38$.

На рис. 2 представлены результаты расчетов, полученные с учетом джоулевой диссипации, но без внутренних источников тепла (значения безразмерных чисел те же, что и для результатов рис. 1).

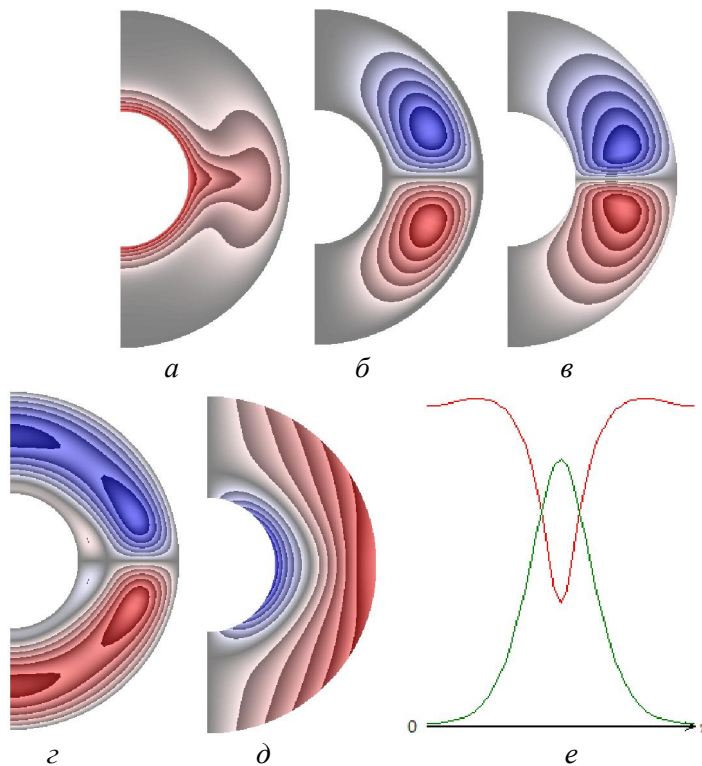


Рис. 2. Расчетные поля (с учетом джоулевой диссипации. Внутренние источники тепла отсутствуют): а – температура; б – функция тока; в – вихрь; г – радиальная составляющая магнитной индукции; д – меридиональная составляющая магнитной индукции; е – локальные числа Нуссельта

Из анализа результатов рис. 2 и 1 следует, что учет джоулевой диссипации приводит к изменению поля температуры, направления движения жидкости в конвективных ячейках, формы вихрей и распределения чисел Нуссельта. Теплообмен интенсифицируется в области экватора (рис. 2, *a*). Характер изменения локальных чисел Нуссельта (рис. 2, *e*) изменяется на противоположный по сравнению с результатом, представленным на рис. 1, *e*. Числа Нуссельта: $1,47 \leq Nu_{\Gamma 1} \leq 3,91$; $0,04 \leq Nu_{\Gamma 2} \leq 3,18$; $\overline{Nu}_{\Gamma 1} = 3,22$; $\overline{Nu}_{\Gamma 2} = 1,40$.

На рис. 3 представлены результаты расчетов, полученные с учетом джоулевой диссипации и внутренних источников тепла ($Q_v = 1$, значения безразмерных чисел те же). Оказалось, что поле функции тока, вихря, радиальной и меридиональной составляющих магнитной индукции в этом случае аналогичны результату, представленному на рис. 2, и не приводятся здесь.

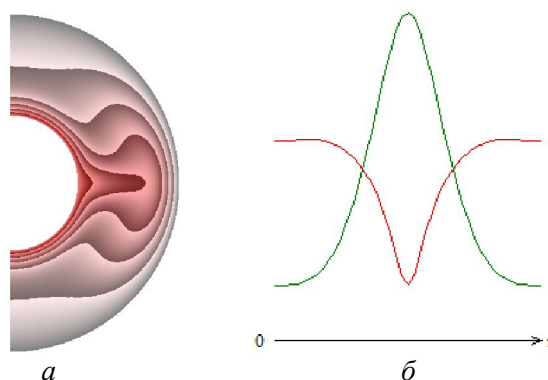


Рис. 3. Расчетные поля (с учетом джоулевой диссипации и внутренних источников тепла): а – температура; б – локальные числа Нуссельта

То есть учет внутренних источников тепла (рис. 2 и 3) не приводит к изменению направления циркуляции жидкости в конвективных ячейках, но ведет к интенсификации теплообмена в ядре. Числа Нуссельта (рис. 3, *б*): $0,93 \leq Nu_{\Gamma 1} \leq 3,30$; $0,91 \leq Nu_{\Gamma 2} \leq 5,39$; $\overline{Nu}_{\Gamma 1} = 2,53$; $\overline{Nu}_{\Gamma 2} = 3,01$.

На рис. 4 приведены результаты расчетов без учета джоулевой диссипации и внутренних источников тепла. Но в отличие от результатов, приведенных выше (рис. 1–3), интенсивность конвекции увеличена в 10 раз: $Gr = 10^4$; $Re = 10$ ($Gr/Re^2 = 10^2$). Увеличение конвекции привело к изменению поля температуры, формы вихрей, магнитной индукции по сравнению с результатами, представленными на рис. 1–3. Если сравнивать полученный результат ($Gr = 10^4$; $Gr/Re^2 = 10^2$) с результатом рис. 1 ($Gr = 10^3$; $Gr/Re^2 = 10$), где также не учитывались джоулева диссипация и внутренние источники тепла, то можно заметить, что интенсификация конвекции привела к смене направления движения жидкости в конвективных ячейках, т. е. не только учет джоулевой диссипации (рис. 2 и 1), но и интенсификация конвекции (рис. 4 и 1), мо-



жет приводить к изменению направления движения жидкости в конвективных ячейках. Числа Нуссельта (рис. 4) принимают следующие значения: $2,46 \leq Nu_{\Gamma 1} \leq 7,06$; $0,06 \leq Nu_{\Gamma 2} \leq 5,04$; $\overline{Nu}_{\Gamma 1} = 5,69$; $\overline{Nu}_{\Gamma 2} = 2,48$.

На рис. 5 представлены результаты расчетов, полученные с учетом джоулевой диссипации, но без внутренних источников тепла ($Gr = 10^4$; $Re = 10$; $Gr/Re^2 = 10^2$; $S = 10^{-5}$; $Re_m = 1$; $S/Re_m = 10^{-5}$; $Pe = 10$). Учет джоулевой диссипации приводит к значительному изменению поля температуры, направления движения жидкости в конвективных ячейках, формы вихрей и распределения чисел Нуссельта по сравнению с результатом рис. 4. Теплообмен интенсифицируется в области полюсов (рис. 5, а), а не в области экватора, как на рис. 4, а. Направление движения жидкости в конвективных ячейках изменилось на противоположное (рис. 5, б, в и рис. 4, б, в). Значения радиальной составляющей магнитной индукции (рис. 5, г) поменялись на противоположные значения по сравнению с результатом рис. 4, г.

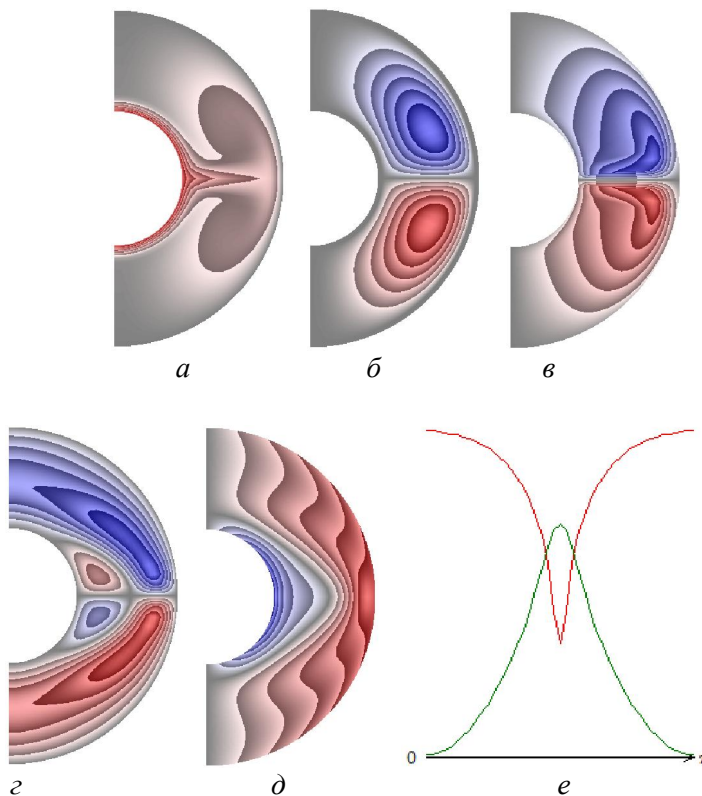


Рис. 4. Расчетные поля (джоулева диссипация и внутренние источники тепла отсутствуют): а – температура; б – функция тока; в – вихрь; г – радиальная составляющая магнитной индукции; д – меридиональная составляющая магнитной индукции; е – локальные числа Нуссельта

Эти изменения происходят благодаря учету джоулевой диссипации. Числа Нуссельта (рис. 5): $1,19 \leq Nu_{\Gamma_1} \leq 7,50$; $0,26 \leq Nu_{\Gamma_2} \leq 11,49$; $\overline{Nu}_{\Gamma_1} = 5,87$; $\overline{Nu}_{\Gamma_2} = 2,56$.

На рис. 6 представлены результаты, полученные с учетом джоулевой диссипации и внутренних источников тепла ($Q_v = 1$). Остальные значения безразмерных чисел, как и для результатов, приведенных на рис. 5. Числа Нуссельта (рис. 6, б): $0,95 \leq Nu_{\Gamma_1} \leq 6,90$; $0,93 \leq Nu_{\Gamma_2} \leq 12,62$; $\overline{Nu}_{\Gamma_1} = 5,34$; $\overline{Nu}_{\Gamma_2} = 4,23$. Остальные поля аналогичны результатам рис. 5.

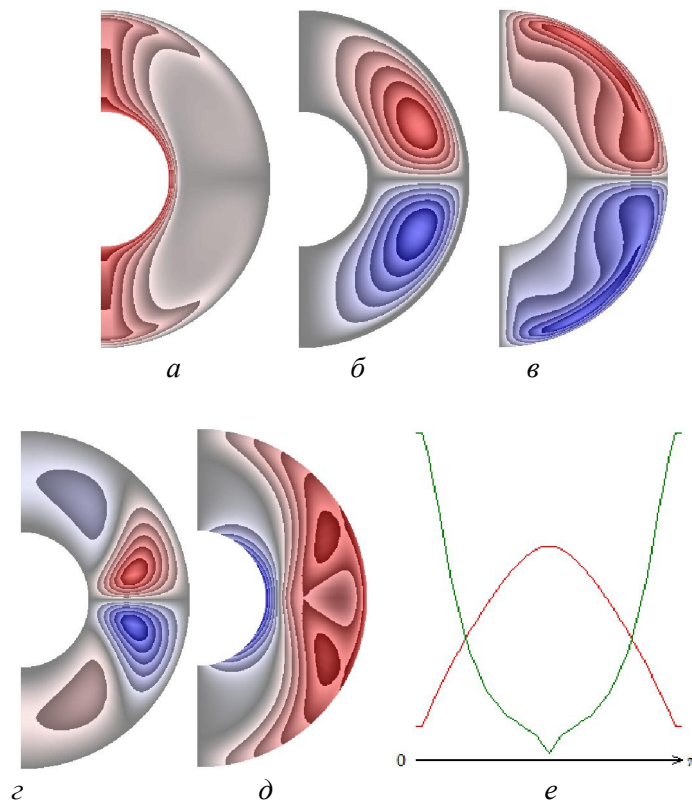


Рис. 5. Расчетные поля (с учетом джоулевой диссипации. Внутренние источники тепла отсутствуют): а – температура; б – функция тока; в – вихрь; г – радиальная составляющая магнитной индукции; д – меридиональная составляющая магнитной индукции; е – локальные числа Нуссельта

На рис. 7 представлены результаты, полученные с учетом джоулевой диссипации и внутренних стоков тепла ($Q_v = -1$; $Gr = 10^4$; $Re = 10^2$; $Gr/Re^2 = 1$; $S =$



10^{-2} ; $Re_m = 10$; $S/Re_m = 10^{-3}$; $Pe = 10^2$). Наличие стоков тепла привело к изменению поля температуры; направление движения в жидкости изменилось на противоположное (рис. 7, б, в и рис. 5, б, в). Значения радиальной составляющей магнитной индукции (рис. 7, г) поменялись на противоположные значения по сравнению с результатом, представленным на рис. 5, г. Числа Нуссельта (рис. 7, е): $3,03 \leq Nu_{\Gamma 1} \leq 6,61$; $-1,93 \leq Nu_{\Gamma 2} \leq -0,66$; $\overline{Nu}_{\Gamma 1} = 5,79$; $\overline{Nu}_{\Gamma 2} = -1,29$.

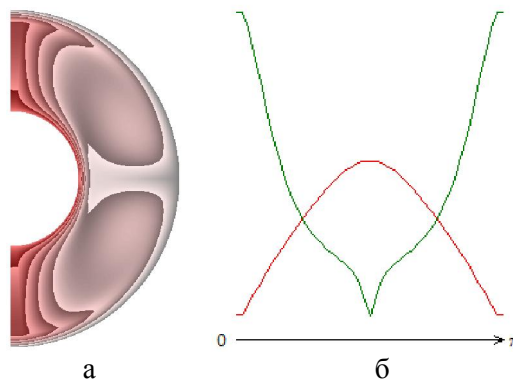


Рис. 6. Расчетные поля (с учетом джоулевой диссипации и внутренних источников тепла): а – температура; б – локальные числа Нуссельта

Заключение

В результате проделанной работы была предложена математическая модель и разработан программный продукт, позволяющий моделировать конвективный теплообмен и магнитогидродинамические процессы в жидком ядре Земли. Анализ полученных результатов позволил сделать следующие выводы:

- конвекция оказывает значительное влияние на магнитное поле ядра Земли;
- учет джоулевой диссипации приводит к изменению направления течения жидкости в конвективных ячейках на противоположное (изменяется меридиональная циркуляция жидкости в ядре Земли, т. е. магнитные полюса Земли изменяют свое местоположение на противоположное), что приводит к существенной перестройке поля температуры в ядре. Аналогичный результат был отмечен в работе [1], что подтверждает достоверность полученных результатов;
- изменение внутреннего источника тепла на сток также приводит к изменению направления течения жидкости в конвективных ячейках на противоположное.

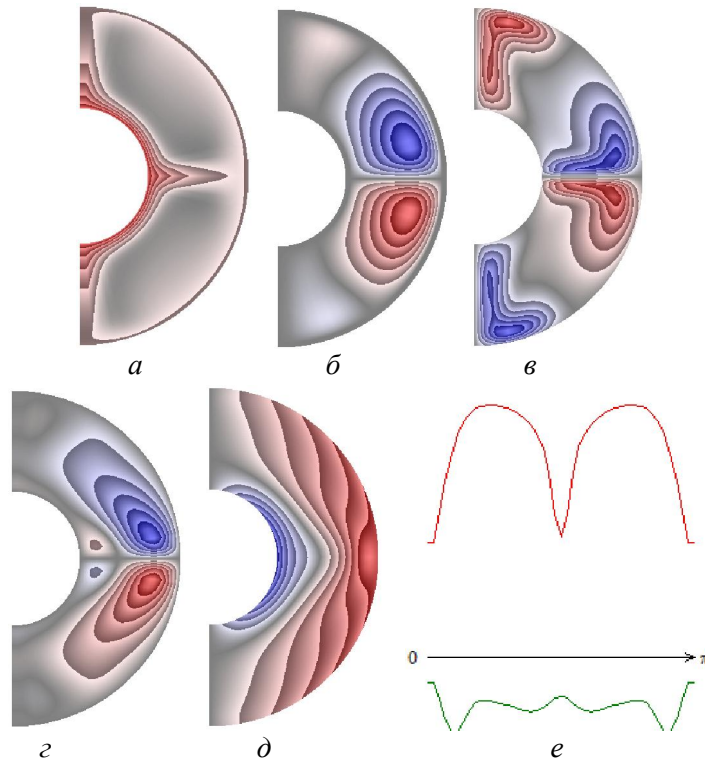


Рис. 7. Расчетные поля (с учетом джоулевой диссипации и внутренних стоков тепла): а – температура; б – функция тока; в – вихрь; г – радиальная составляющая магнитной индукции; д – меридиональная составляющая магнитной индукции; е – локальные числа Нуссельта

Библиографические ссылки

1. Краузе Ф., Рэдлер К.-Х. Магнитная гидродинамика средних полей и теория динамо / пер. с англ. А. Г. Муслимова, Н. А. Силантьева; под ред. А. З. Доминова. М., 1984.